

# Photochemie von Eisen(III)-Dicarbonsäurekomplexen in wässriger Lösung

## Motivation und Hintergrund - Eisenkomplexphotochemie in Wolken und wässrigen Partikeln

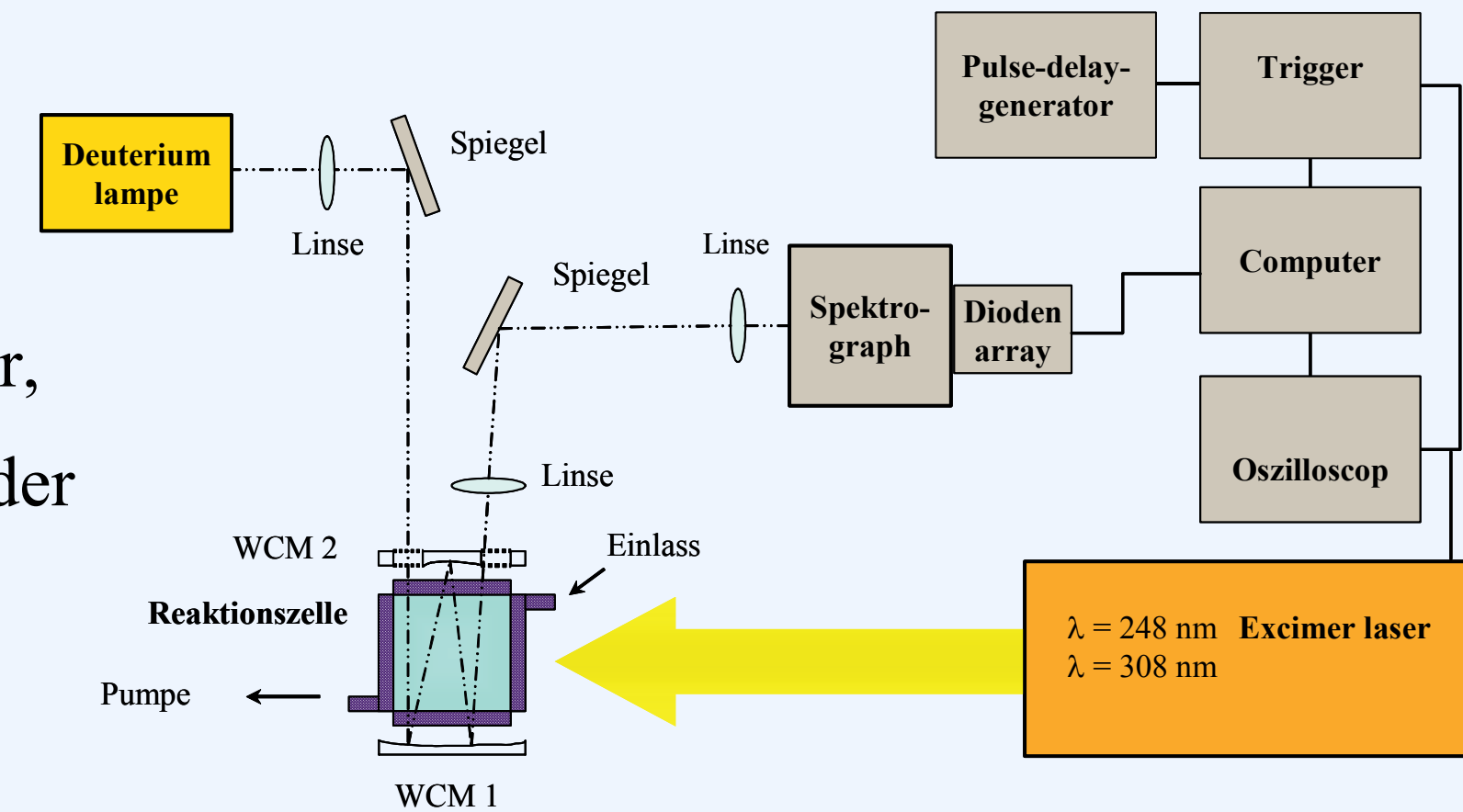
- Eisen aus Mineralstaubaufwirbelung oder anthropogenen Quellen
- Normalerweise Überschuss an koordinierenden Liganden vorhanden
- Eisen zum größten Teil komplex gebunden
- Typische Liganden: Carbonsäuren (Oxalsäure, Malonsäure u.a.)
- Fe-Komplex-Photolyse führt zur Bildung organischer Radikale:
  - $[Fe^{III}(C_2O_4)_2]^- + hv \rightarrow Fe^{2+} + C_2O_4^{2-} + C_2O_4^{\cdot-}$
  - $C_2O_4^{\cdot-} \rightarrow CO_2 + CO_2^{\cdot-}$
  - $CO_2^{\cdot-} + [Fe^{III}(C_2O_4)_2]^- \rightarrow Fe^{2+} + 2C_2O_4^{2-} + CO_2$
- Theoretisch maximal zwei gebildete  $Fe^{2+}$ -Ionen pro absorbiertem Photon
- Gesamtquantenausbeuten  $\Phi > 1$  möglich
- Nur wenige troposphärische Mehrphasenchemiemodelle berücksichtigen Fe-Oxalato-Komplex-Photochemie
- Im IFT-Mechanismus CAPRAM (Chemical Aqueous Phase RADical Mechanism) wird zu wenig Oxalat im Vergleich zu Feldproben modelliert, weil Oxalat hauptsächlich durch Fe-Komplex-Photochemie im Modell zerstört wird
- Andere Modelle berücksichtigen keine Fe-Komplex-Photochemie und zeigen zuviel Oxalat im Vergleich zur Realität
- Aber: Fe-Komplex-Photochemie beeinflusst  $HO_x$ -Chemie und damit Oxidationskapazität der troposphärischen Flüssigphase!

## Experimentelle Methoden

### Methode 1

- Photolyse von Fe-Komplexlösungen mit Excimerlaser,
- Messung der UV-Absorptionsspektren vor und nach der Photolyse

Abb. 1 Laser-Photolyse mit Optical-Multichannel-Analyser



### Methode 2

- Direkte Photolyse in Quarzküvette

- Messung der Excimerlaser-Energie
- Mischen eines photolysierten Aliquotes mit starkem  $Fe^{2+}$  Komplexor

### Phenanthrolin

Stabiler  $Fe^{2+}$ -Komplex zwischen pH 2-9  
 $\epsilon_{\lambda=510\text{ nm}} = 11\,100\text{ l mol}^{-1}\text{ cm}^{-1}$

### Ferrozin

Stabiler  $Fe^{2+}$ -Komplex zwischen pH 4-9  
 $\epsilon_{\lambda=562\text{ nm}} = 27\,900\text{ l mol}^{-1}\text{ cm}^{-1}$

- Messung der  $Fe^{2+}$ -Komplex Absorption mit UV-Vis-Spektrometer

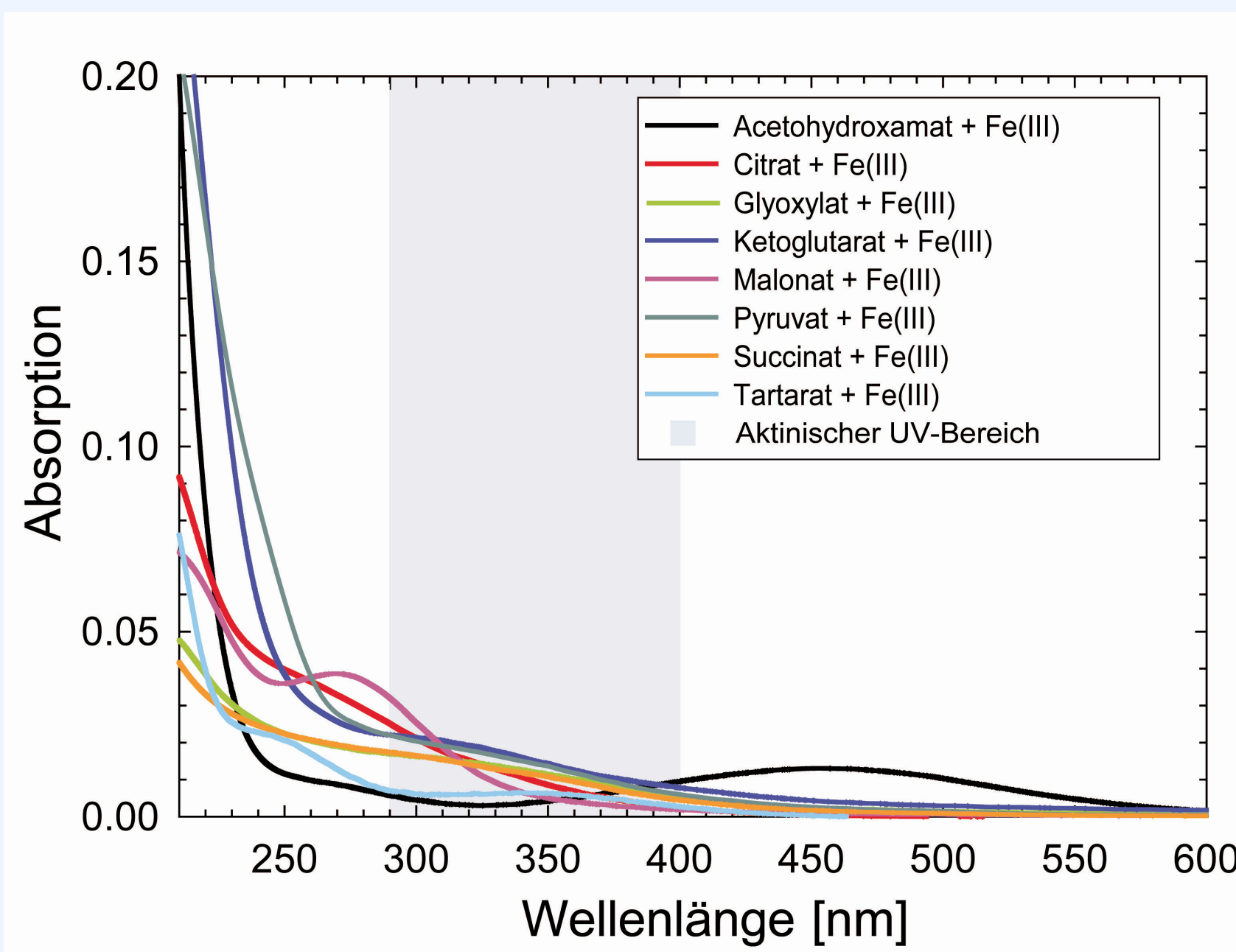


Abb. 2 Gemessene UV-VIS-Absorptionsspektren von verschiedenen Fe(III)-Komplexen bei pH = 5

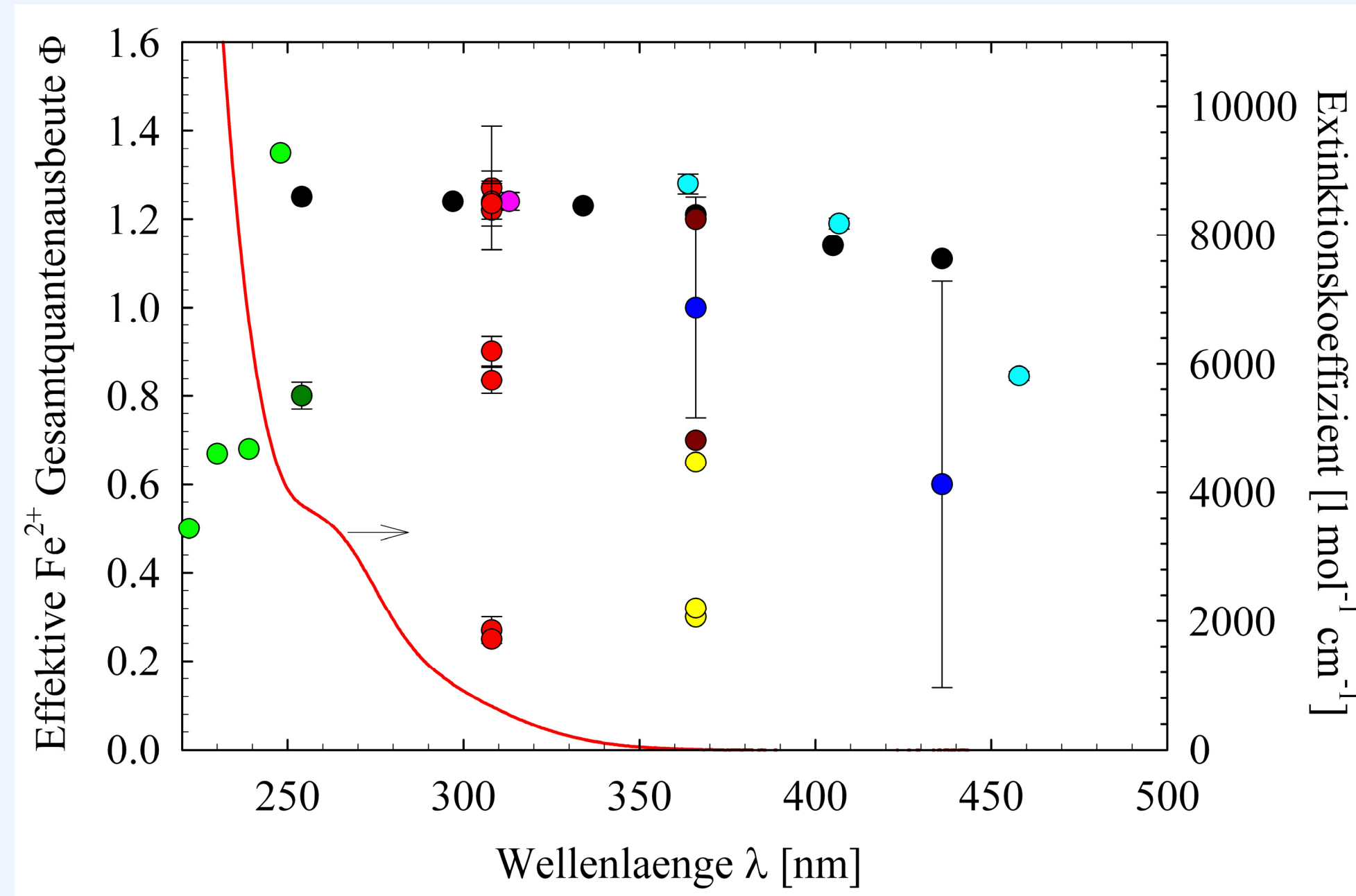


Abb. 3 Effektive  $Fe^{2+}$  Gesamtquantenausbeuten aus Fe(III)-Oxalato-Komplex Photolyse

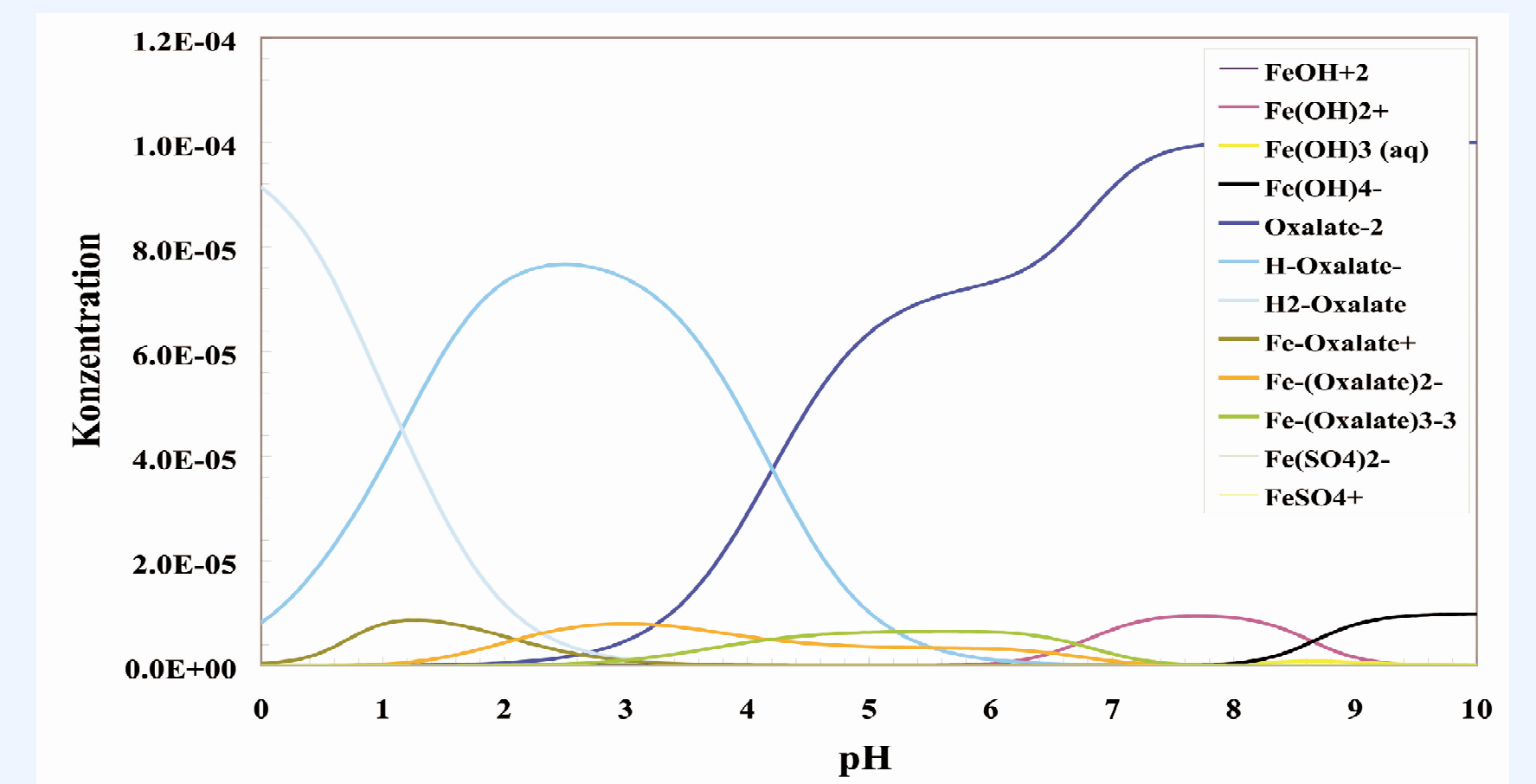


Abb. 4 pH-abhängige Speziation in Fe(III)-Oxalato-Lösung, Fe:Ox, 1:10

- Abb. 2 zeigt UV-VIS-Spektren umweltrelevanter  $Fe^{3+}$ -Komplexe mit Dicarbonsäuren
- Überblick über  $Fe^{2+}$  Gesamtquantenausbeuten von Fe(III)-Oxalato Komplexen aus der Literatur zeigt z.T. breite Streuung, auch bei gleichen Wellenlängen, aber mitunter verschiedenen experimentellen Bedingungen (Abb. 3) → deshalb Untersuchung der Konzentrationsabhängigkeit (→ Abb. 5)
- Abb. 5 zeigt klare Abhängigkeit der  $Fe^{2+}$  Gesamtquantenausbeuten von der  $Fe^{3+}$  Konzentration

Mögliche Erklärungen für Verringerung von  $\Phi$  mit der Konzentration:

- Sekundäre thermische Reaktion (R3) von  $CO_2^{\cdot-}$  mit nicht photolysiertem Fe(III)-Oxalato ist weniger effektiv bei geringen  $Fe^{3+}$  Konzentrationen
- Änderung im primärem Photoreduktionsschritt (R1), unterschiedlicher Beitrag von mono-, bis- und tris-Oxalato-ferrat aufgrund veränderter Speziation?

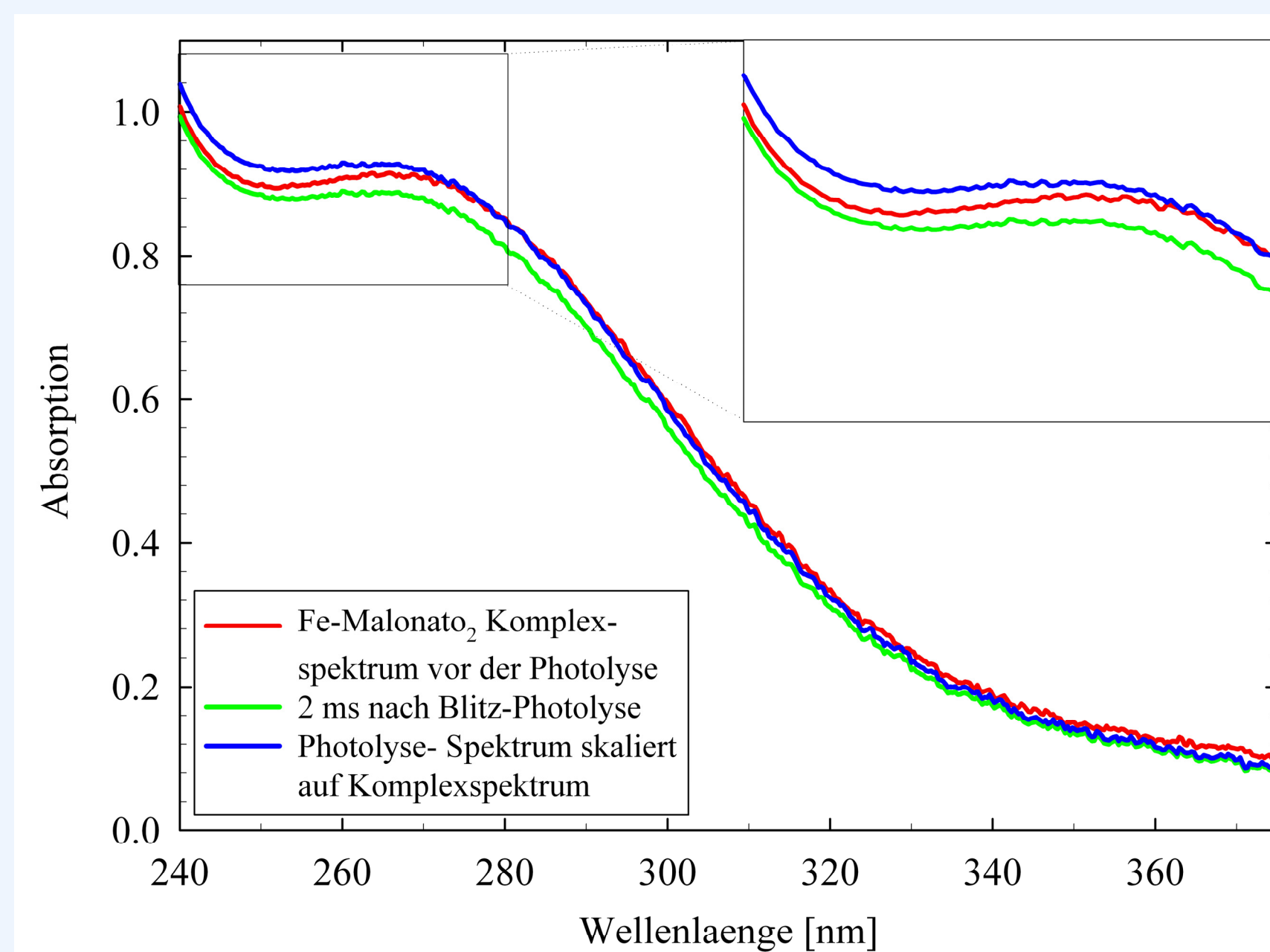


Abb. 6 UV-Spektren des Fe(III)-Malonato<sub>2</sub>-Komplexes bei pH = 5, vor und nach Photolyse bei 308 nm, Methode 1

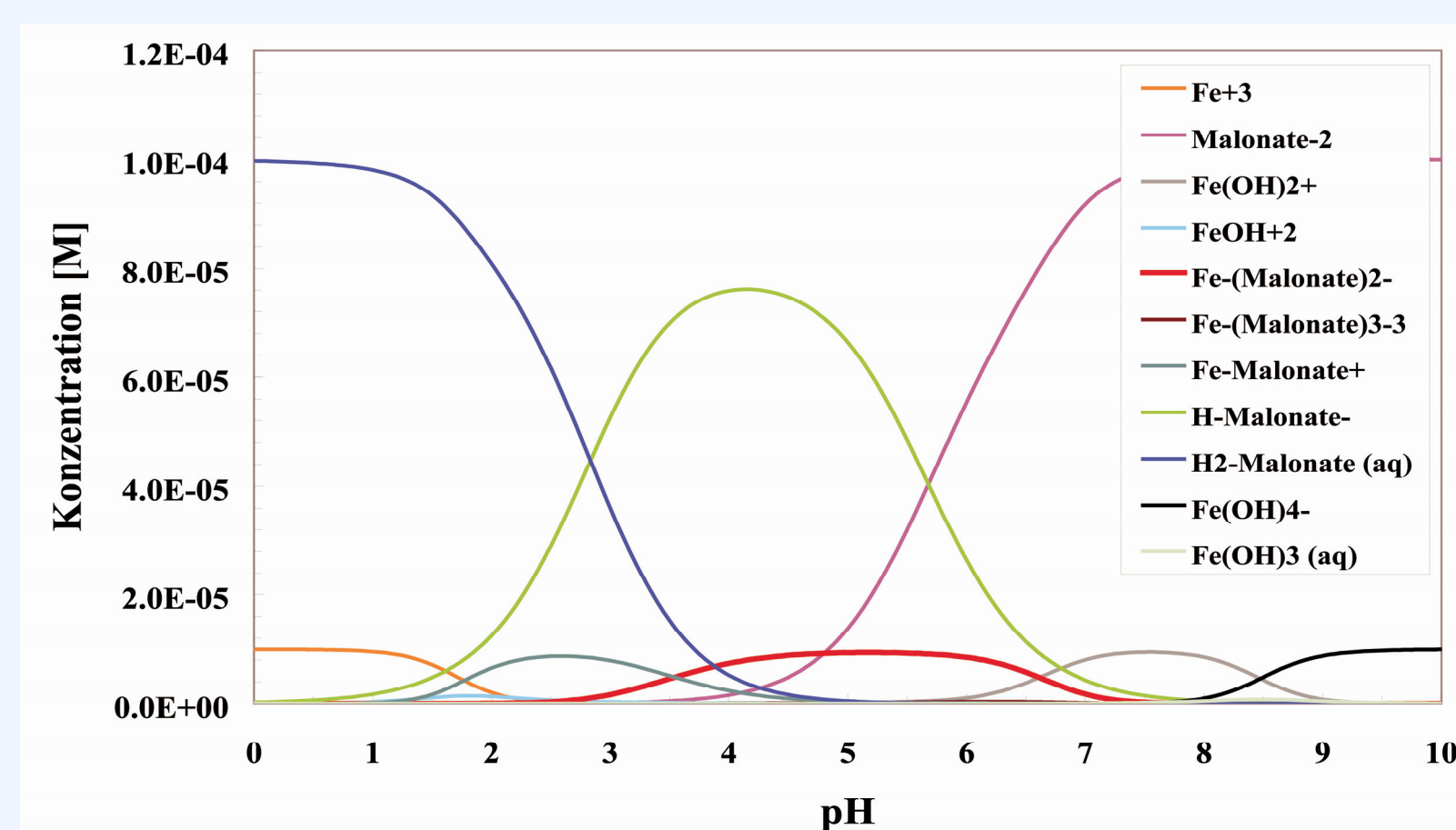


Abb. 7 pH-abhängige Speziation in Fe(III)-Malonat-Lösung, Fe:Mal, 1:10

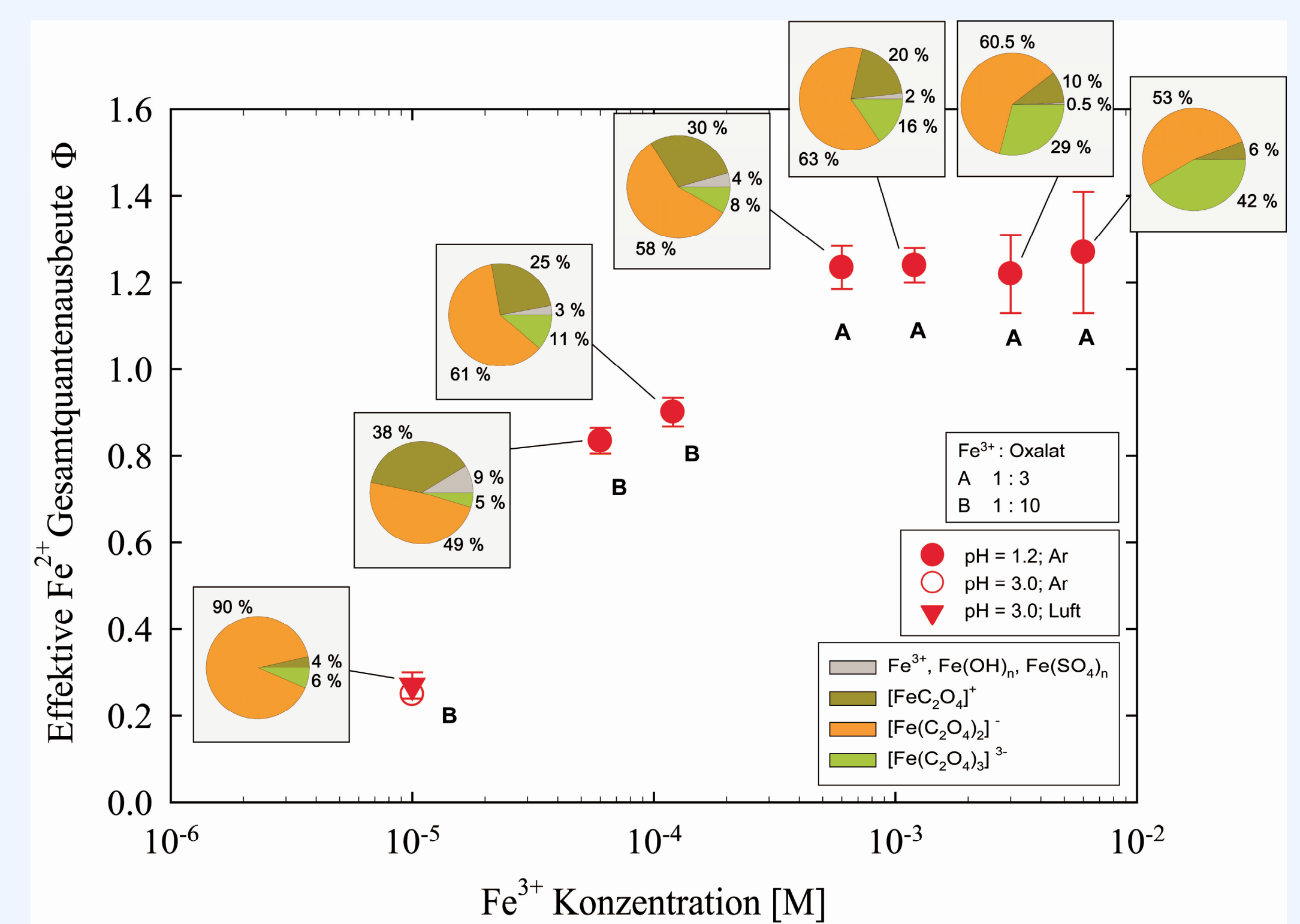


Abb. 5 Konzentrationsabhängigkeit von effektiven  $Fe^{2+}$  Gesamtquantenausbeuten aus Fe(III)-Oxalato-Komplex Photolyse bei 308 nm, Methode 2

- Abb. 6 zeigt Spektren des Fe(III)Malonato<sub>2</sub> Komplexes vor und nach der Photolyse
- Die Absorption nach der Photolyse ist geringer, aufgrund des Photoausbleichens der Lösung
- Eine Skalierung des Photolysespektrums auf das Ausgangsspektrum ist nicht einwandfrei möglich aufgrund überlappender Absorptionen von Produkten → Quantenausbeuten können nicht durch Messungen des Photoausbleichens berechnet werden
- Messungen von Quantenausbeuten des Fe(III)Malonato<sub>2</sub> Komplexes wurden stattdessen mit Methode 2 durch geführt (siehe Tab. 1)

$\lambda$ [nm]	$\Phi$	T [°C]	O <sub>2</sub> /Ar	pH	I [M]	[Fe <sup>3+</sup> ] [M]	Referenz
248	0.16	20	Luft	5	$1 \cdot 10^{-4}$	$1 \cdot 10^{-5}$	diese Arbeit
308	0.018	20	Ar	5	$1 \cdot 10^{-4}$	$1 \cdot 10^{-5}$	diese Arbeit
308	0.017	20	Ar	5	$1 \cdot 10^{-4}$	$1 \cdot 10^{-5}$	diese Arbeit
366	0.027	25	Ar	4	$1 \cdot 10^{-2}$	$1 \cdot 10^{-4}$	Faust & Zepp 1993

Tab. 1: Gemessene Quantenausbeuten aus Fe(III)-Malonato<sub>2</sub>-Photolyse

## Schlussfolgerungen

- Die Photochemie von Fe-Dicarbonsäurekomplexen und speziell des Oxalato-ferrates sind wichtig für die Oxidationskapazität der atmosphärischen Flüssigphase
- Gesamtquantenausbeuten des Oxalato-ferrates sind abhängig von der Eisenkonzentration, die in Wolken variiert
- Eine realistischere Parametrisierung dieser Quantenausbeuten ist die Voraussetzung für eine bessere Beschreibung der Chemie in Wolken und wässrigen Partikeln
- Genaue Ursachen der Konzentrationsabhängigkeit sollen in Zukunft weiter untersucht werden sowie die Photochemie anderer relevanter Fe-Komplexe

## Literatur

- Abrahamson et al. (1994) *Inorg. Chim. Acta*, 226, 117-127  
 Demas et al. (1981) *J. Phys. Chem.*, 85 (19), 2766  
 Faust & Zepp (1993) *Environ. Sci. Technol.*, 27, 2517-2522  
 Fernandez et al. (1979) *J. Photochem.*, 11, 69  
 Funayama et al. (1984) *Kag. Kog. Ron.*, 10 (4), 534  
 Hatchard & Parker (1956) *Proc. R. Soc. Lond., Ser. A*, 235, 518  
 Nicodem (1983) *J. Photochem.*, 21 (3), 189  
 Vincze & Papp (1987) *J. Photochem.*, 36 (3), 289